

Fig. 10

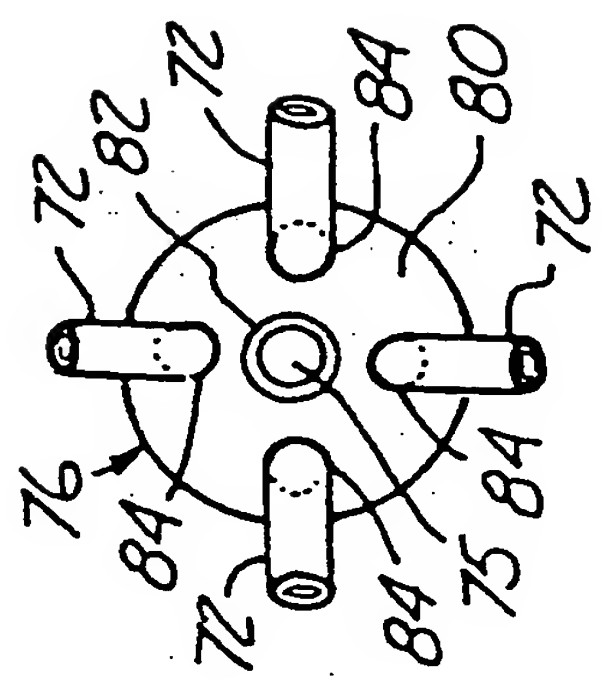
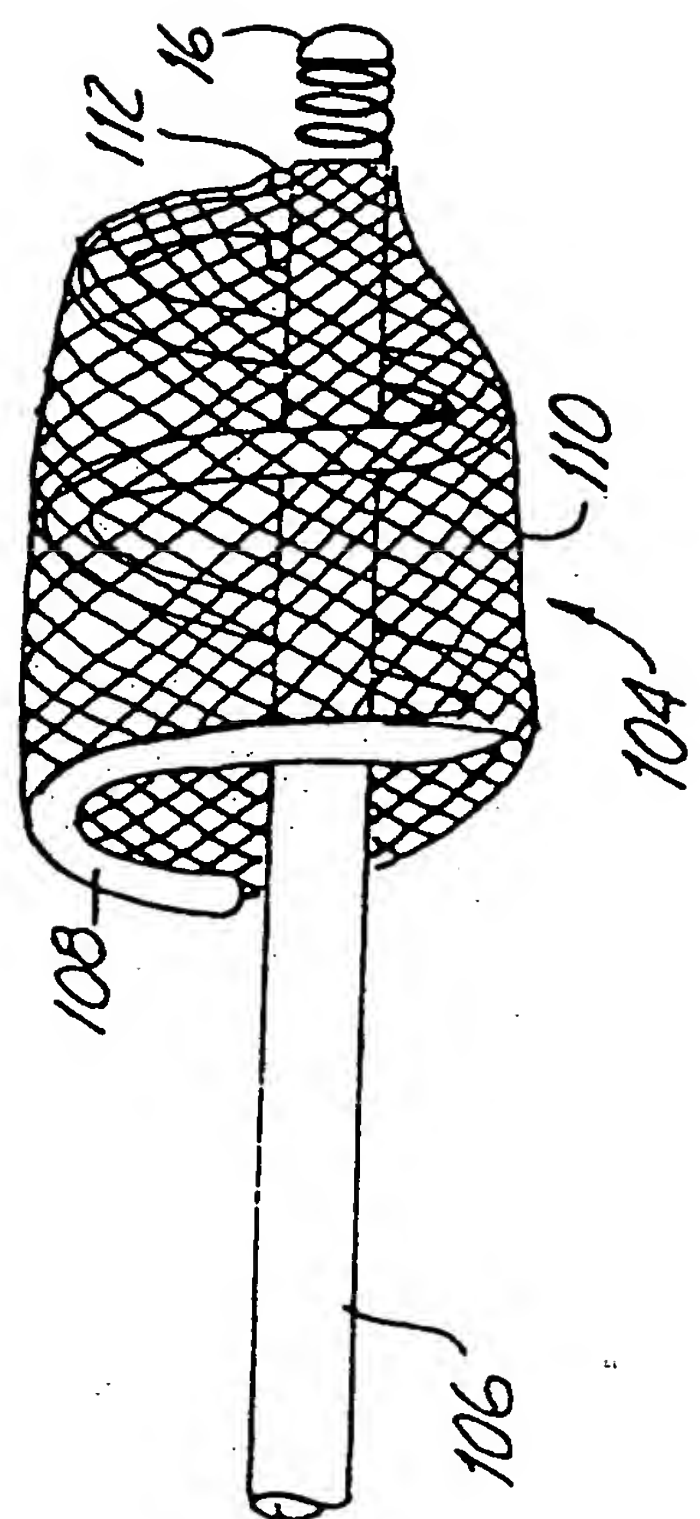
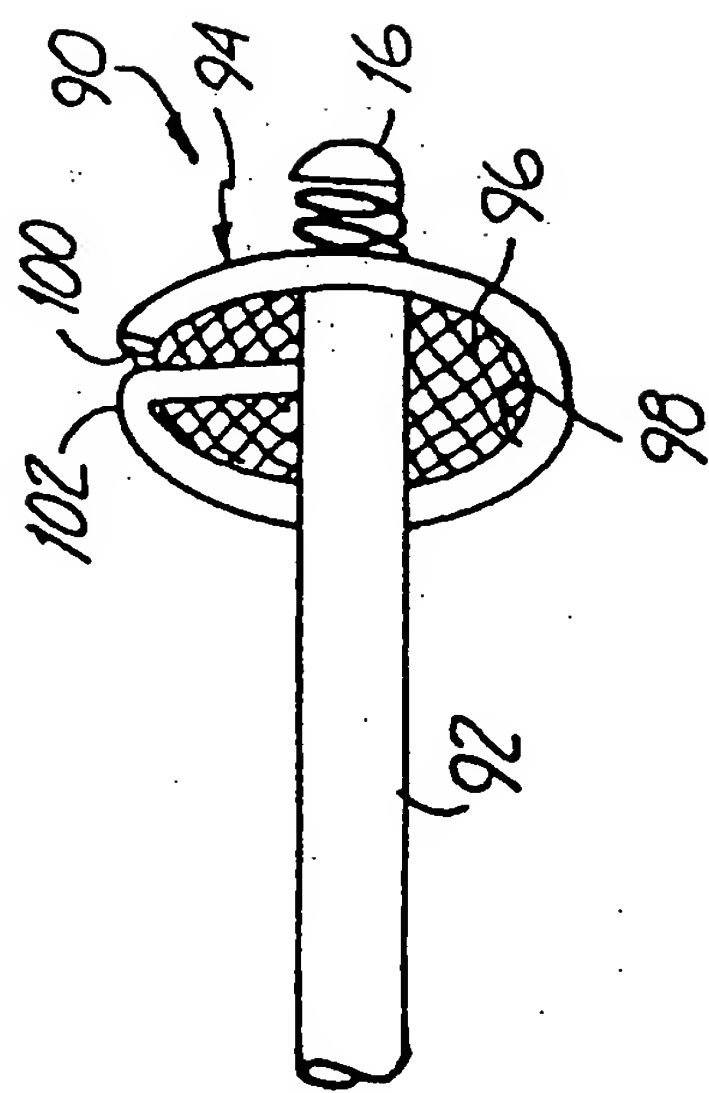
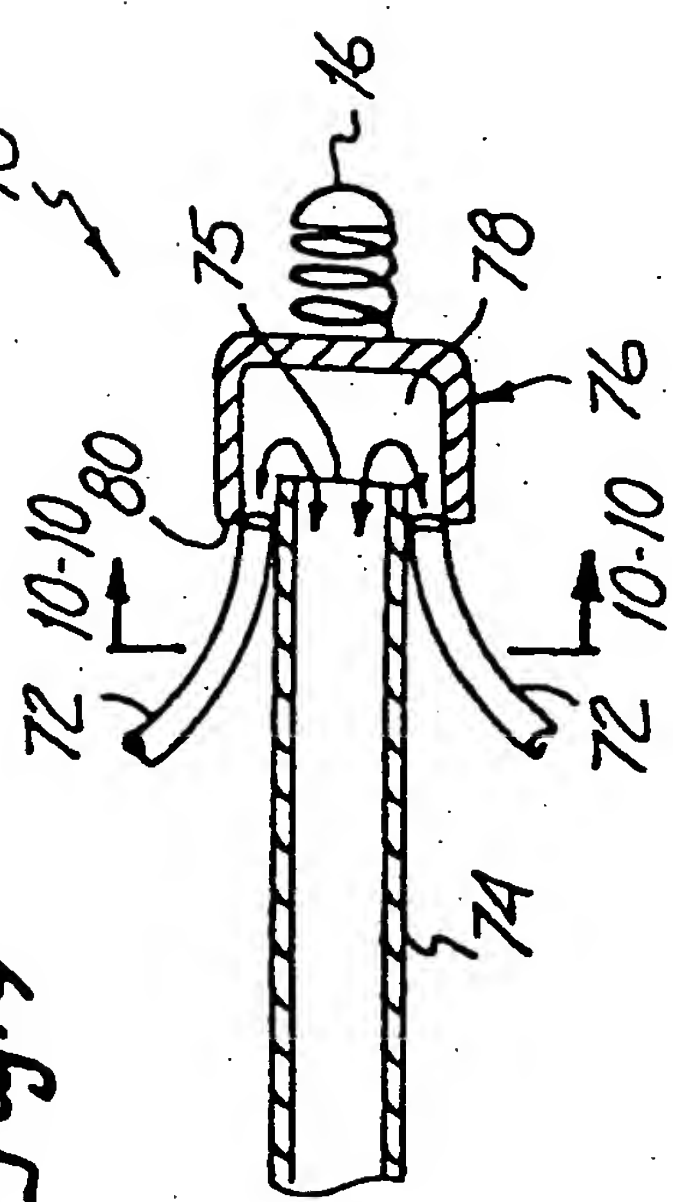
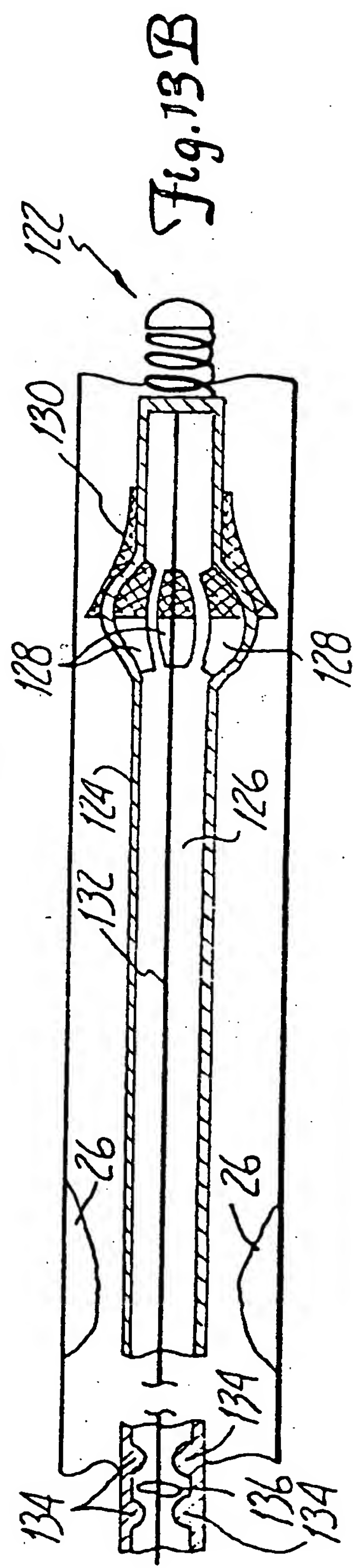
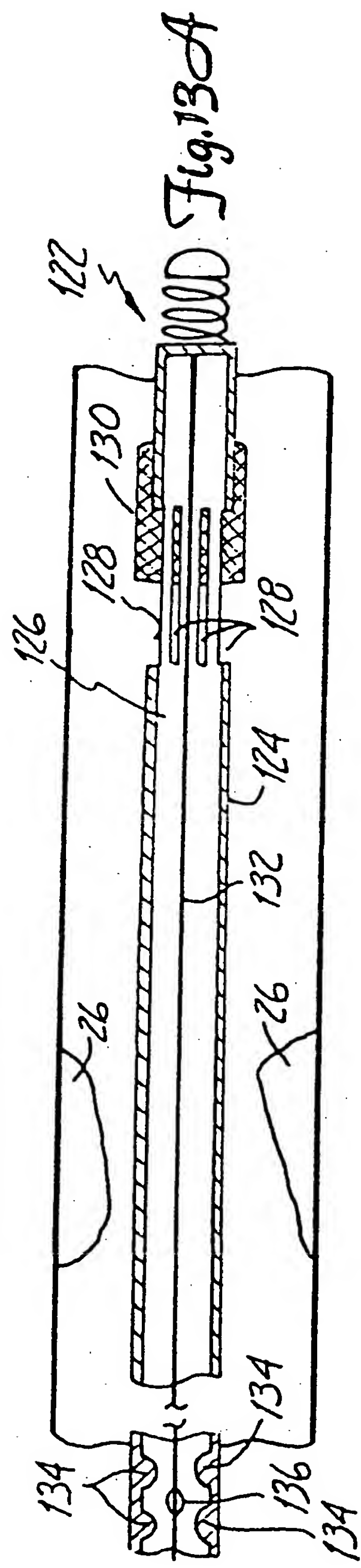
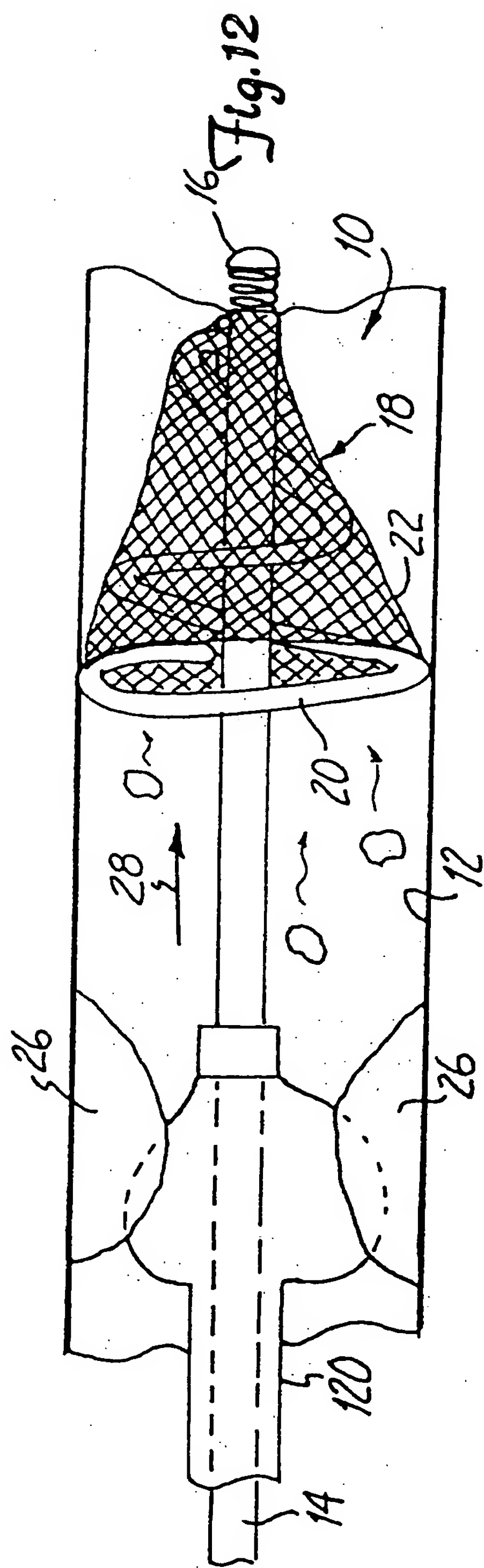
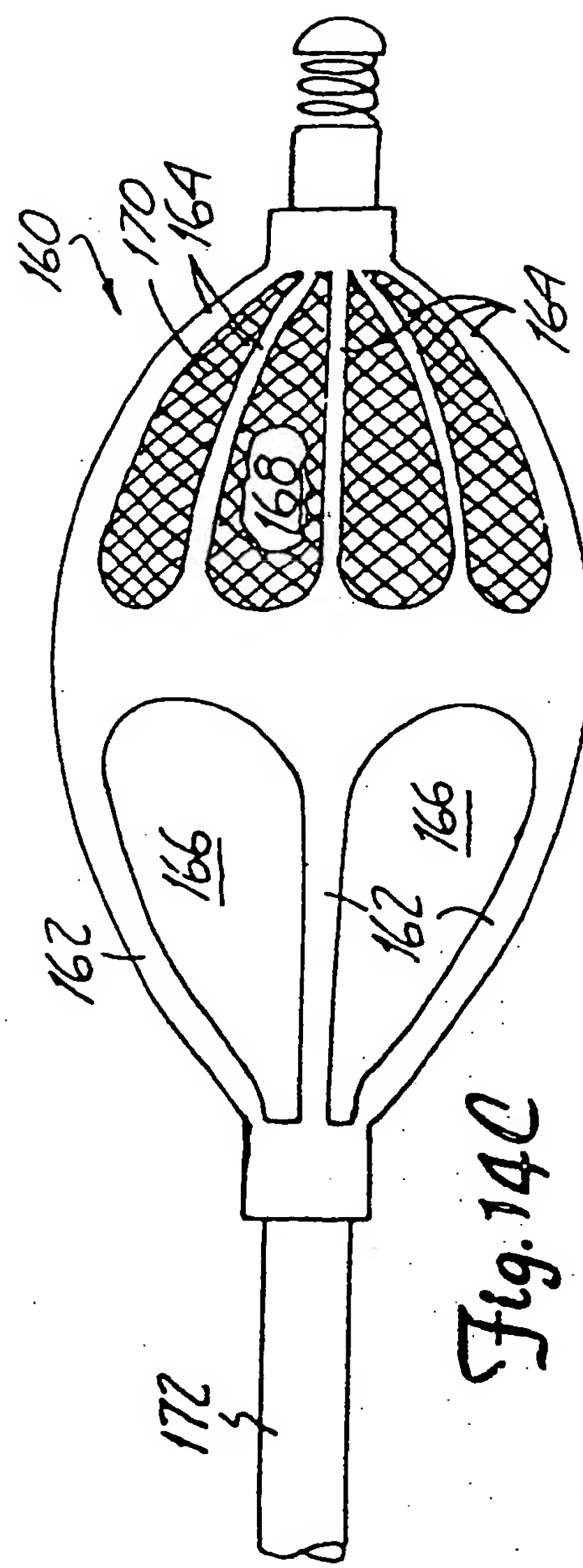
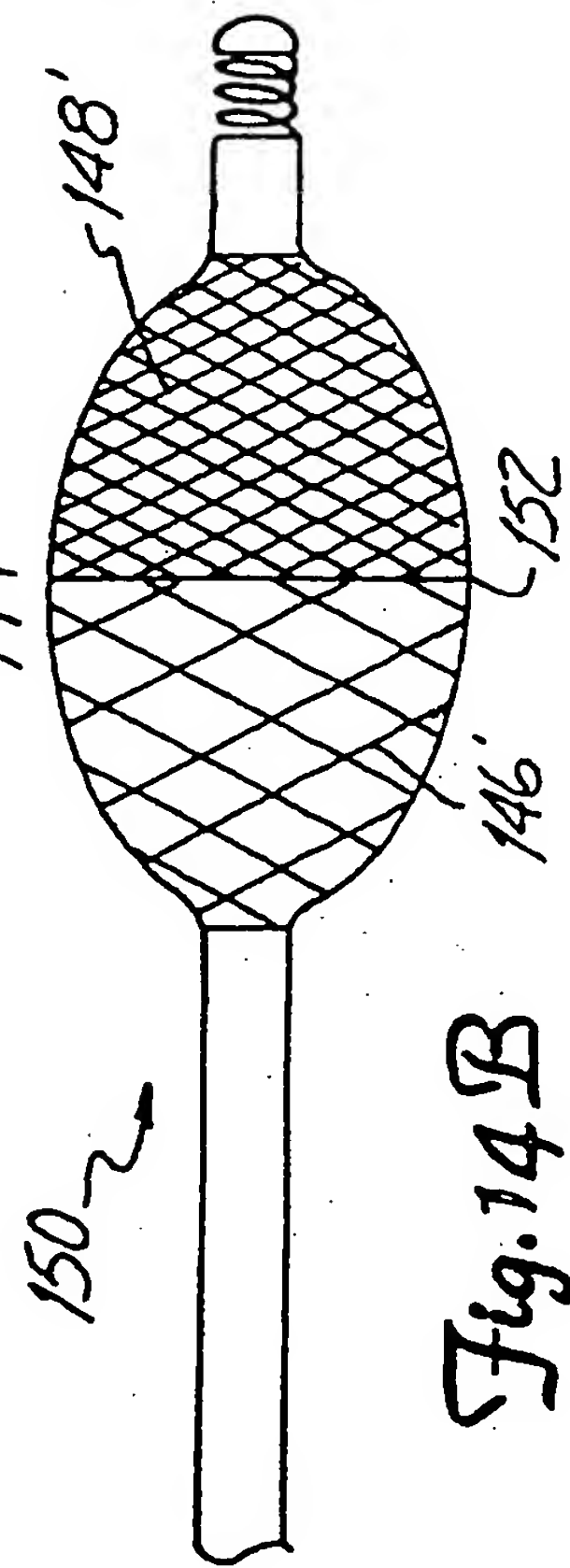
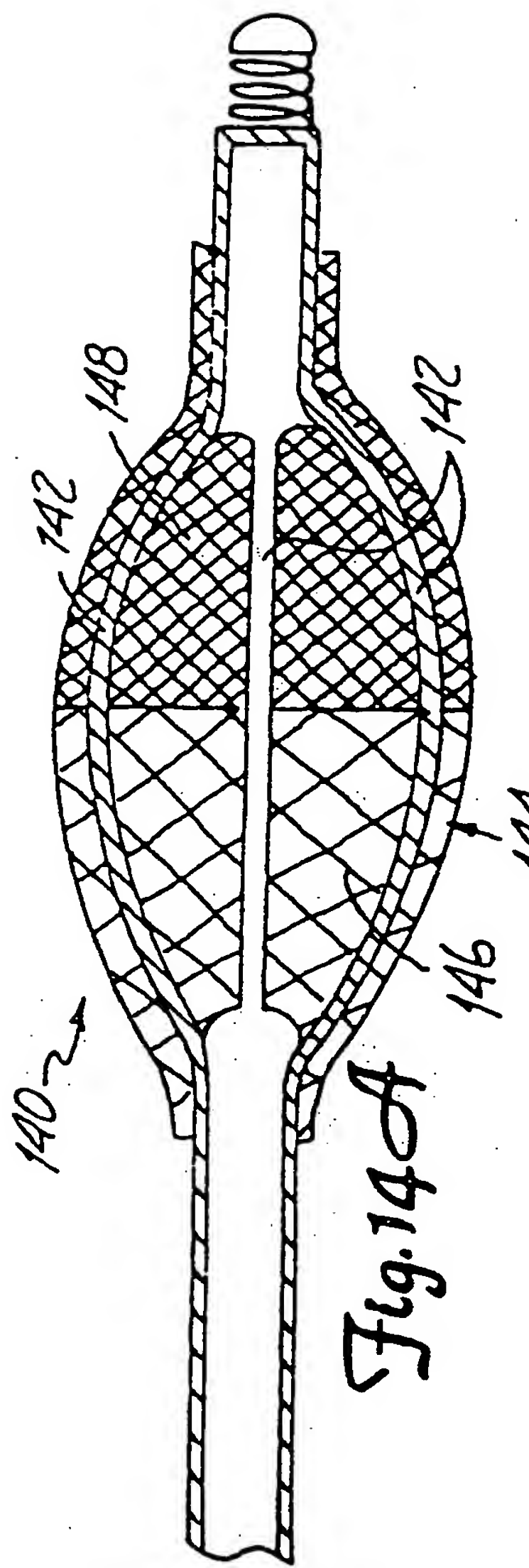


Fig. 9







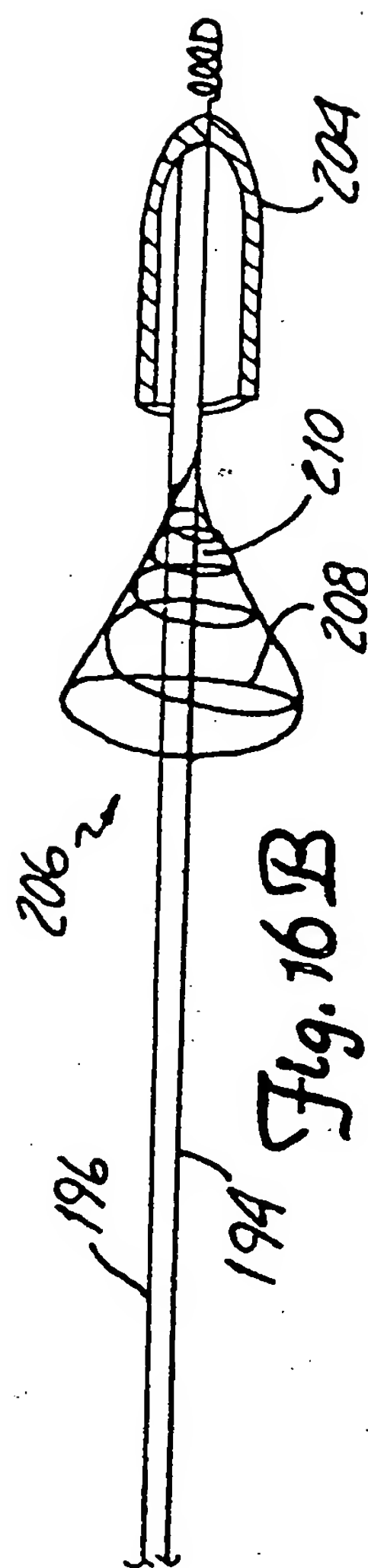
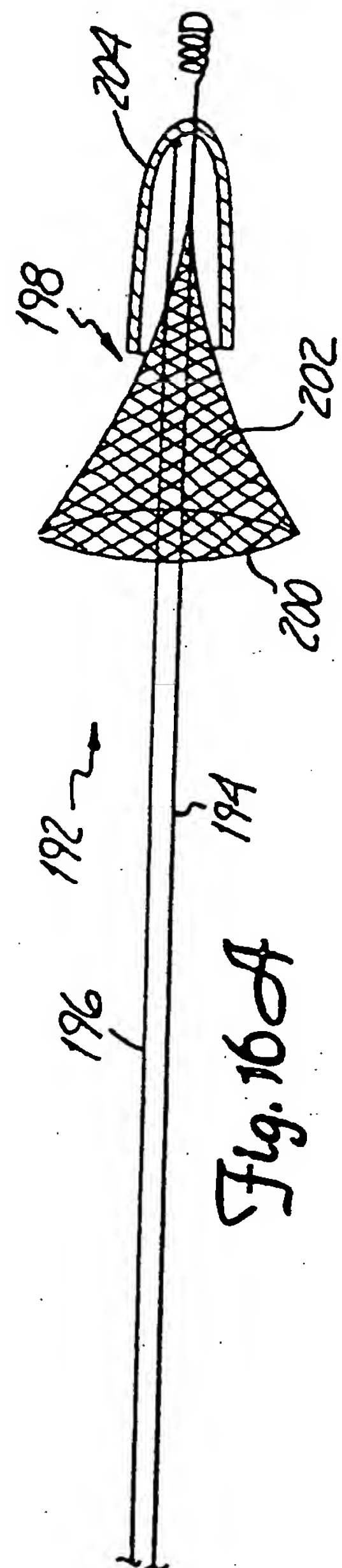
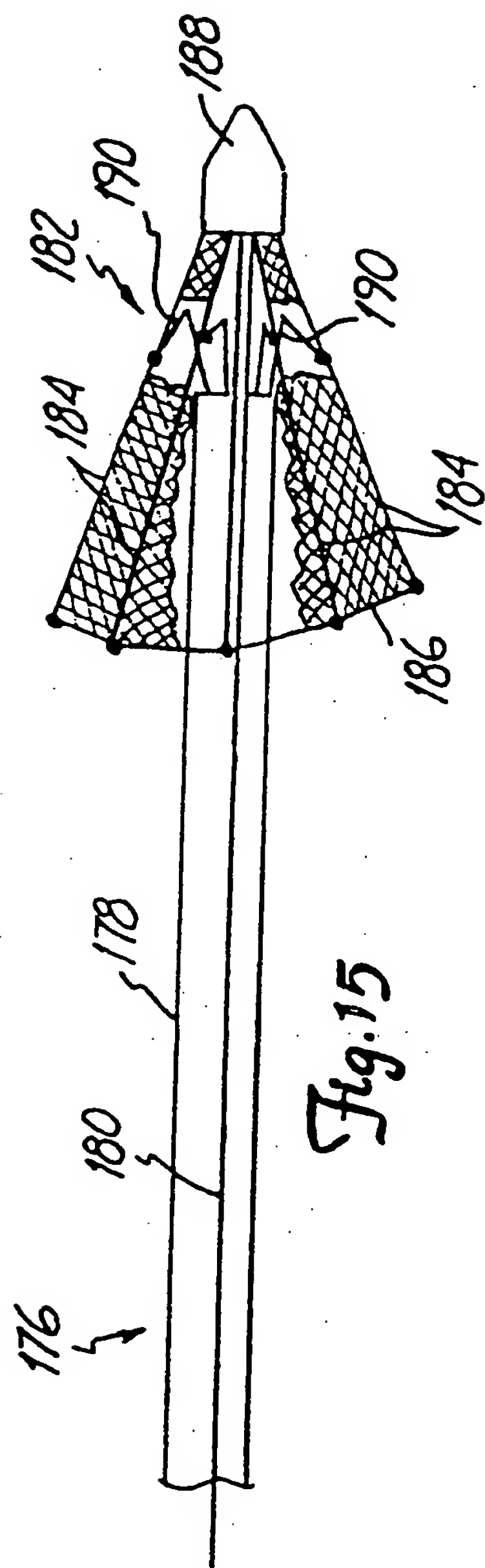


Fig. 17A

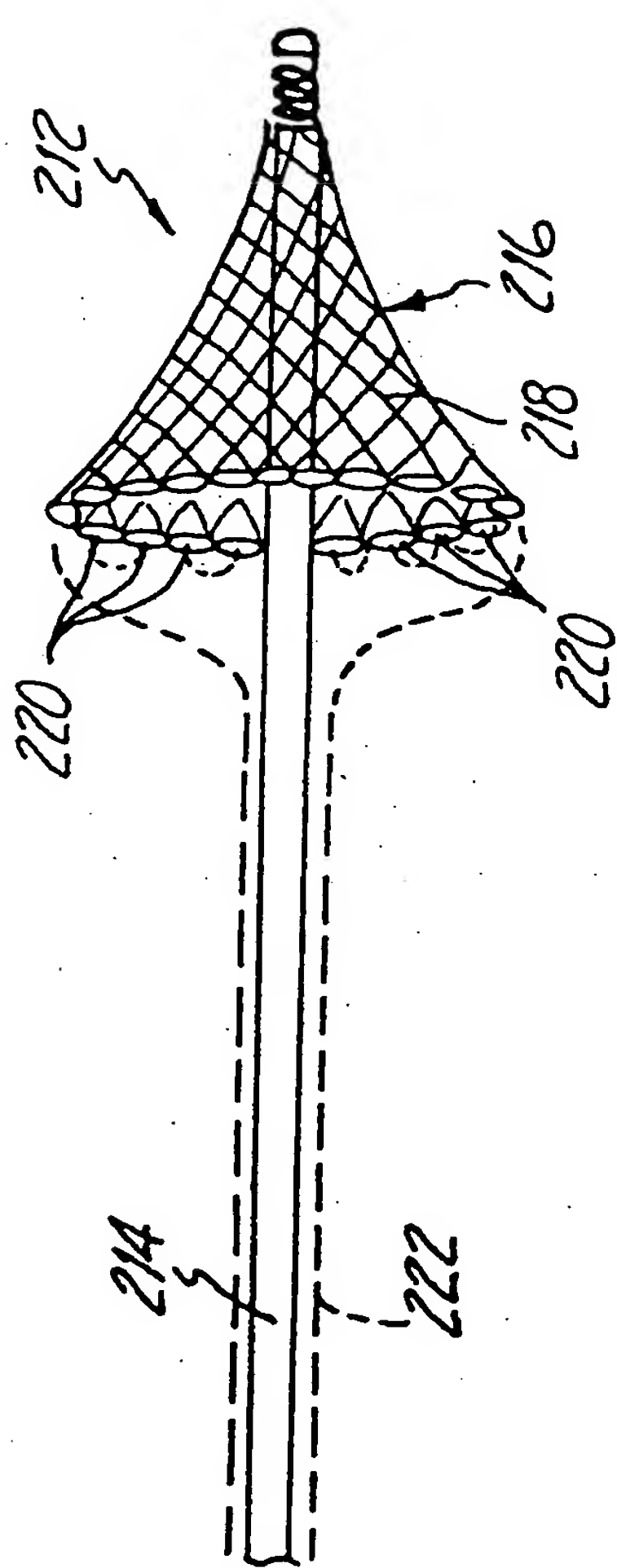
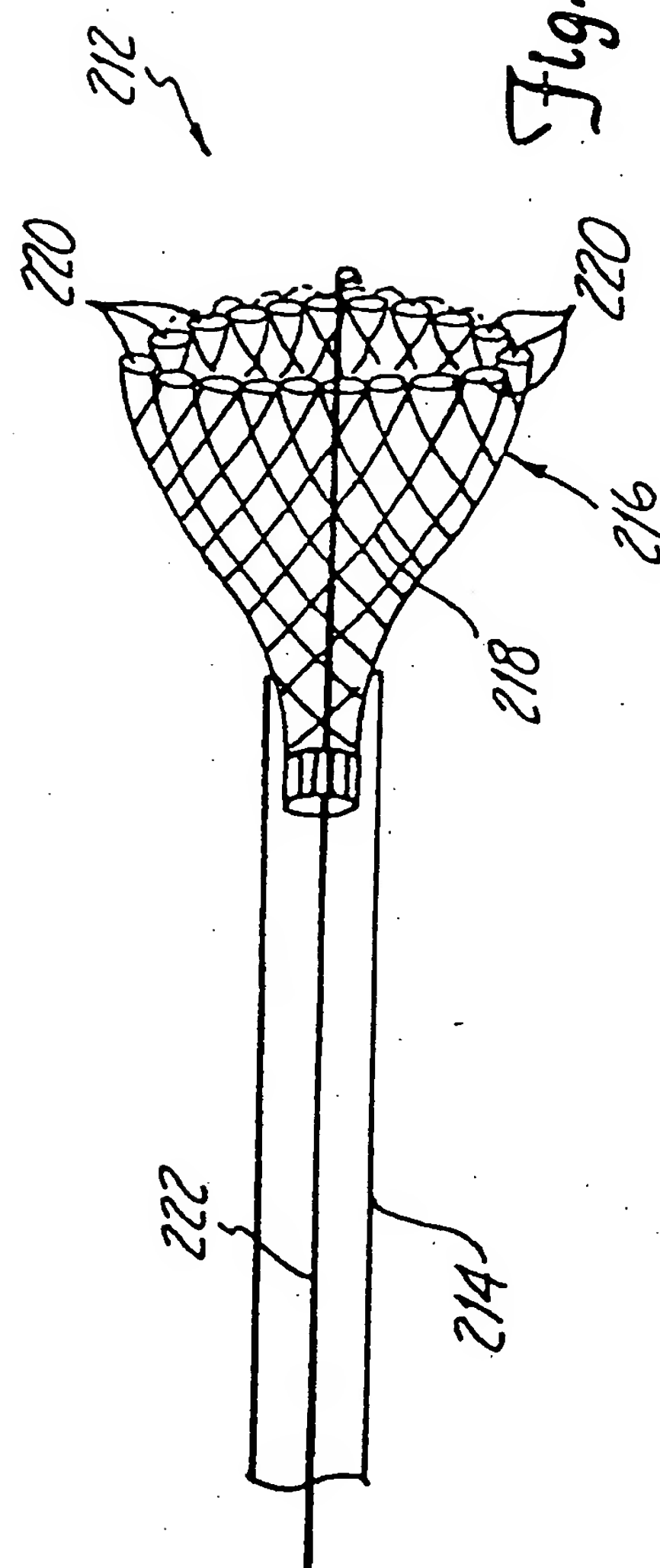


Fig. 17B



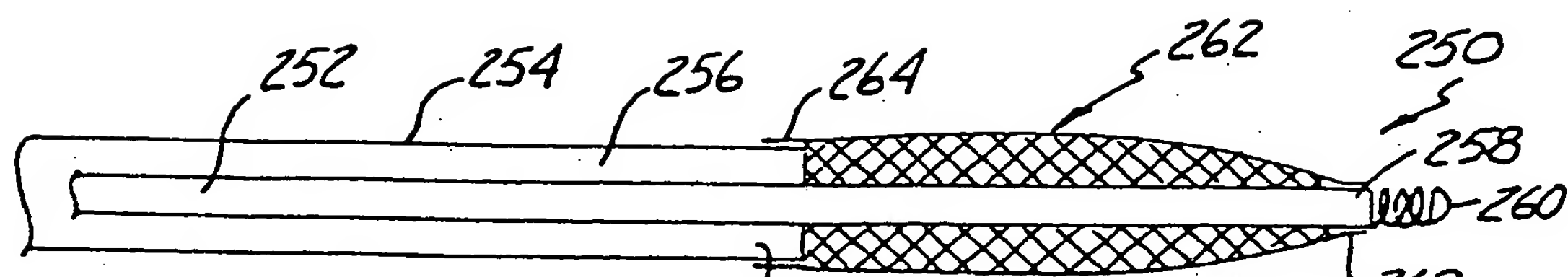


Fig. 18 A

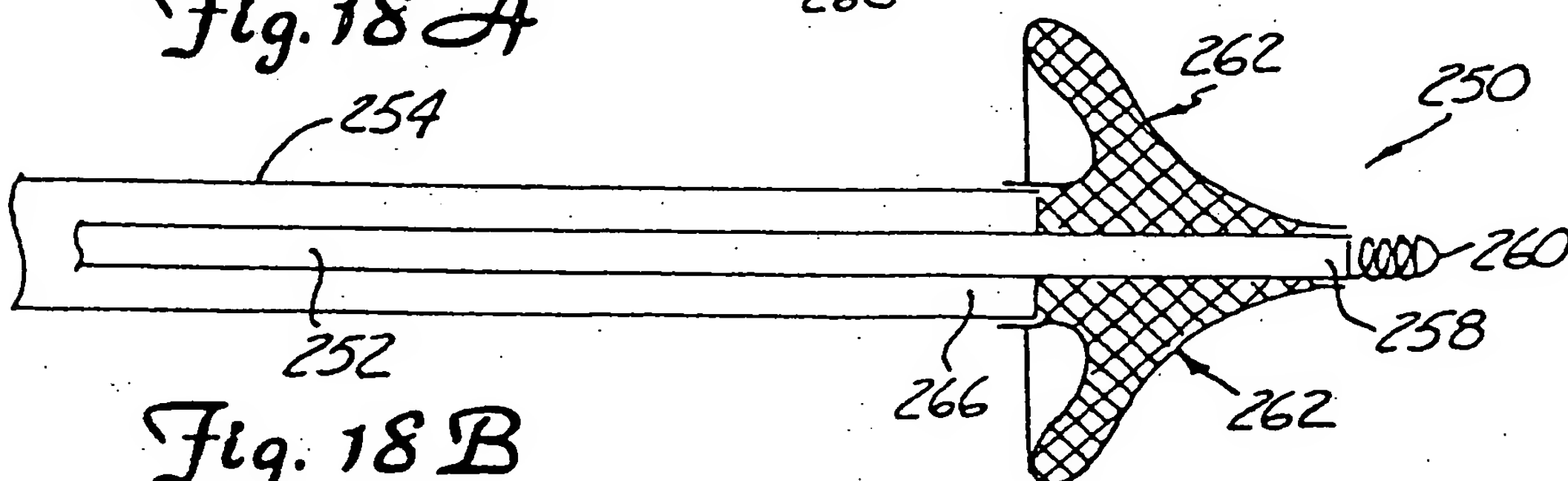


Fig. 18 B

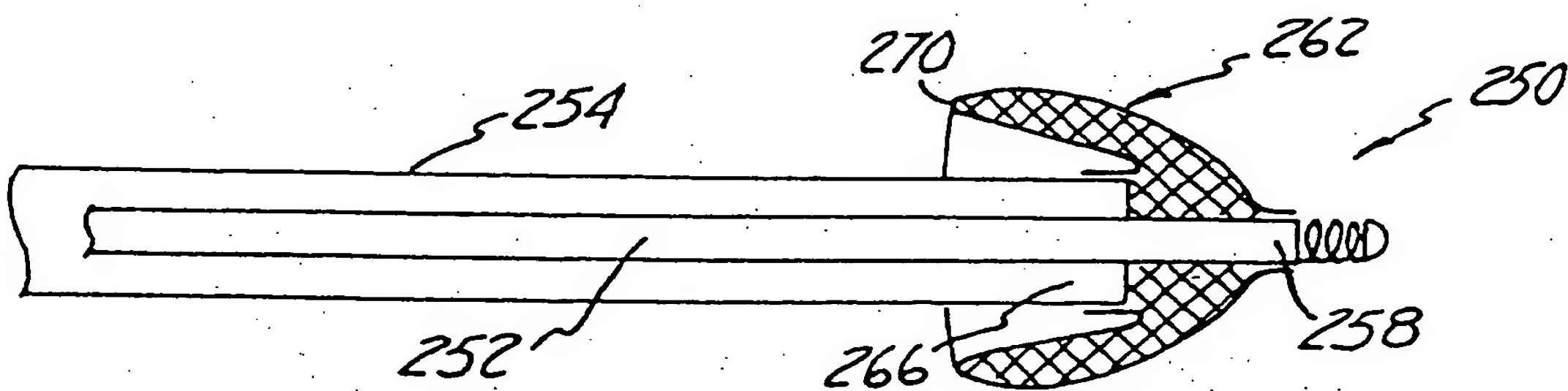


Fig. 18 C

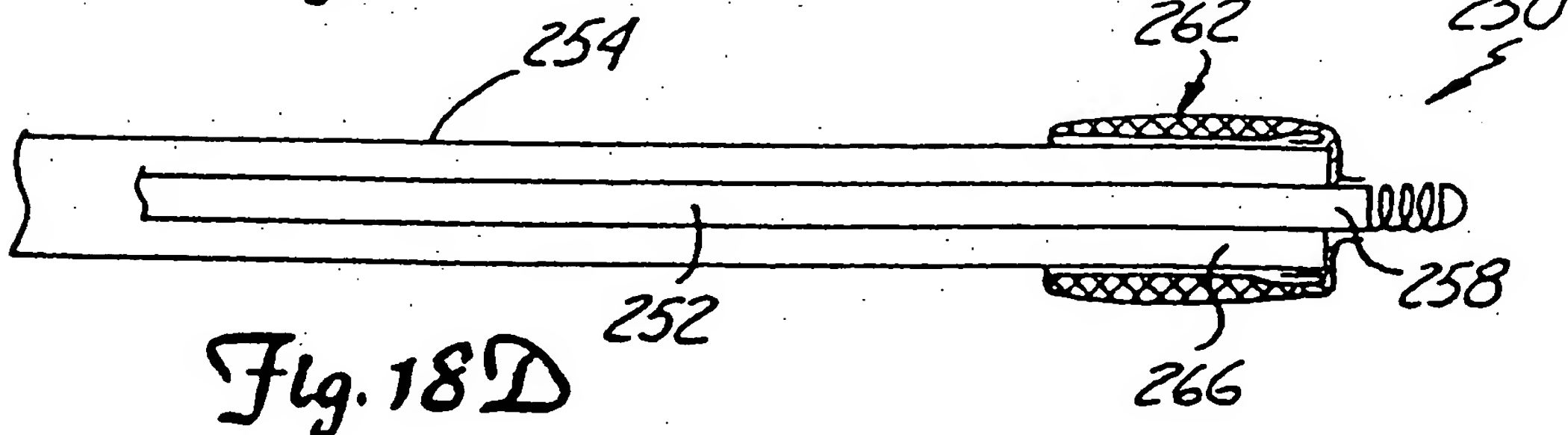
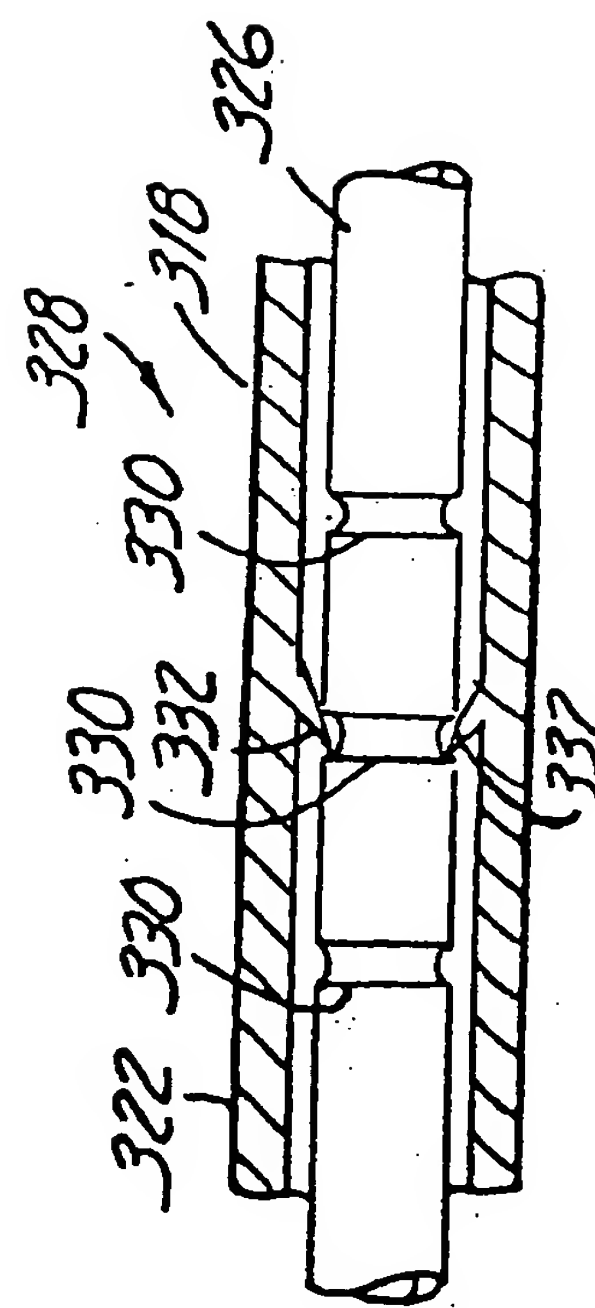
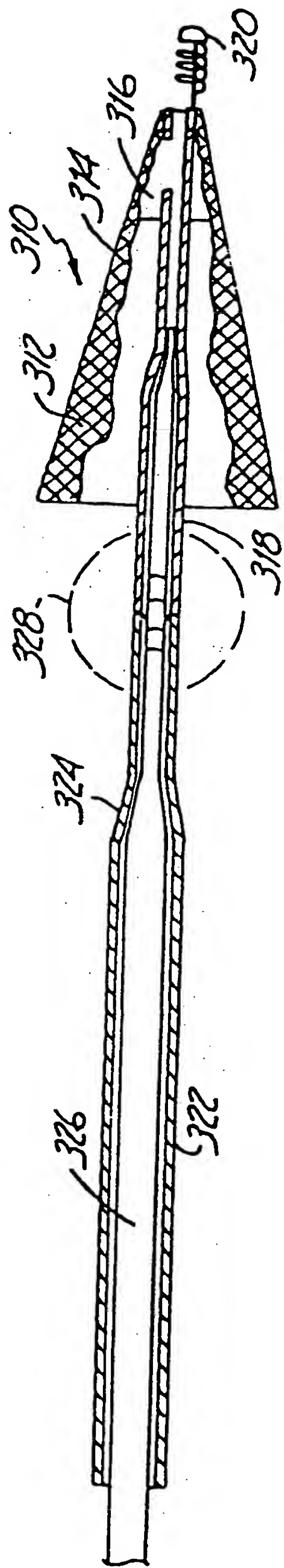
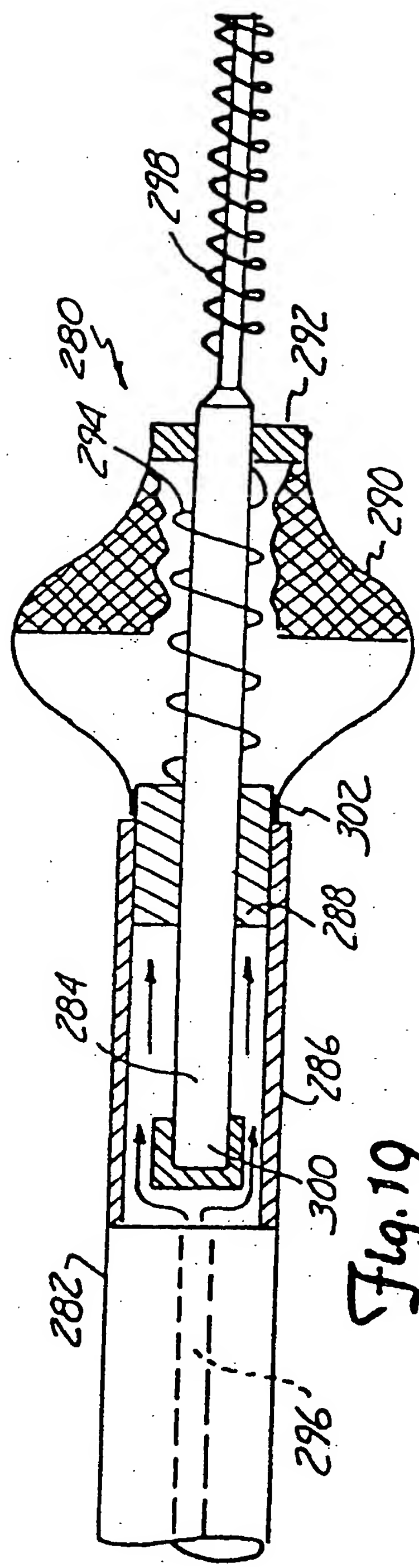
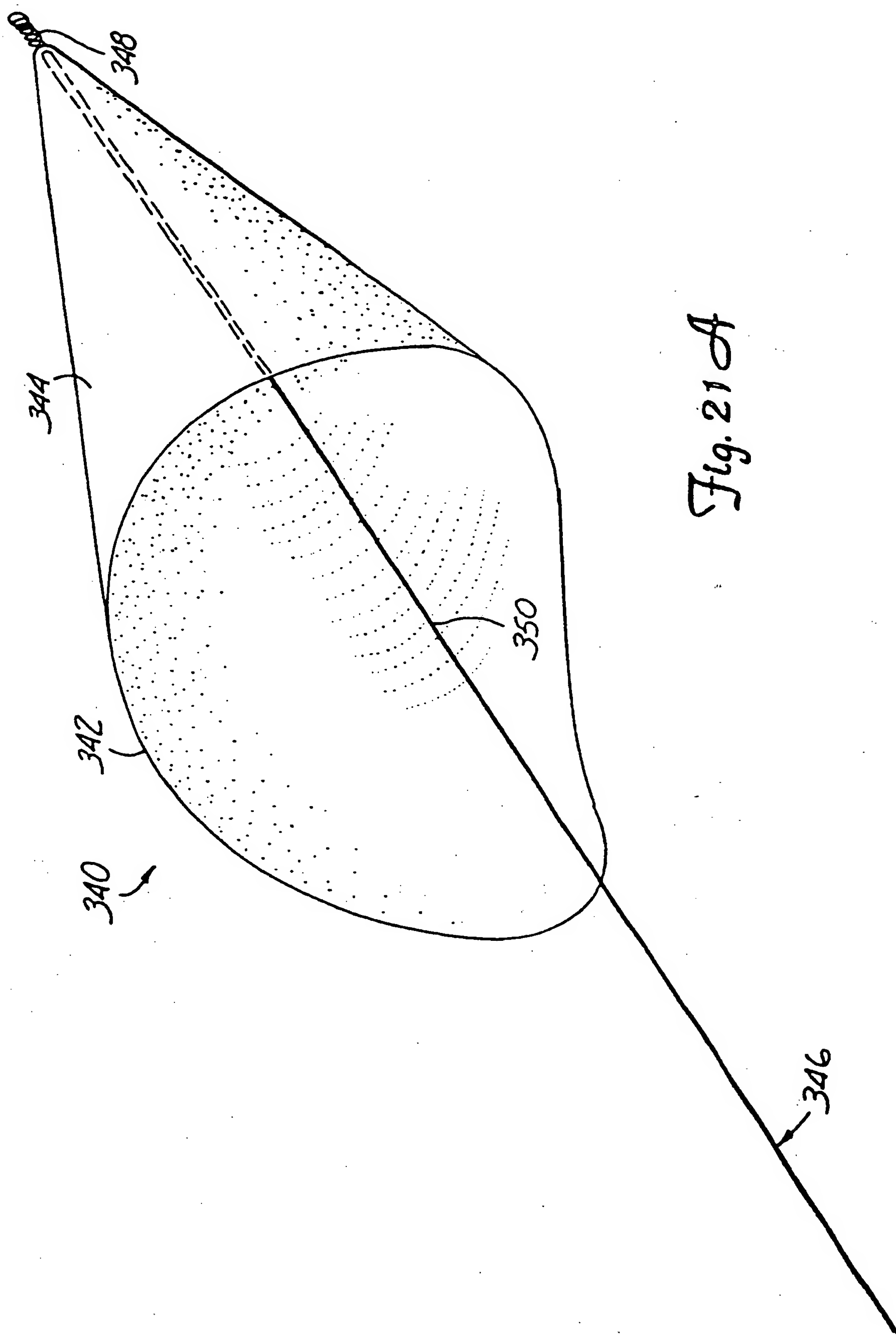
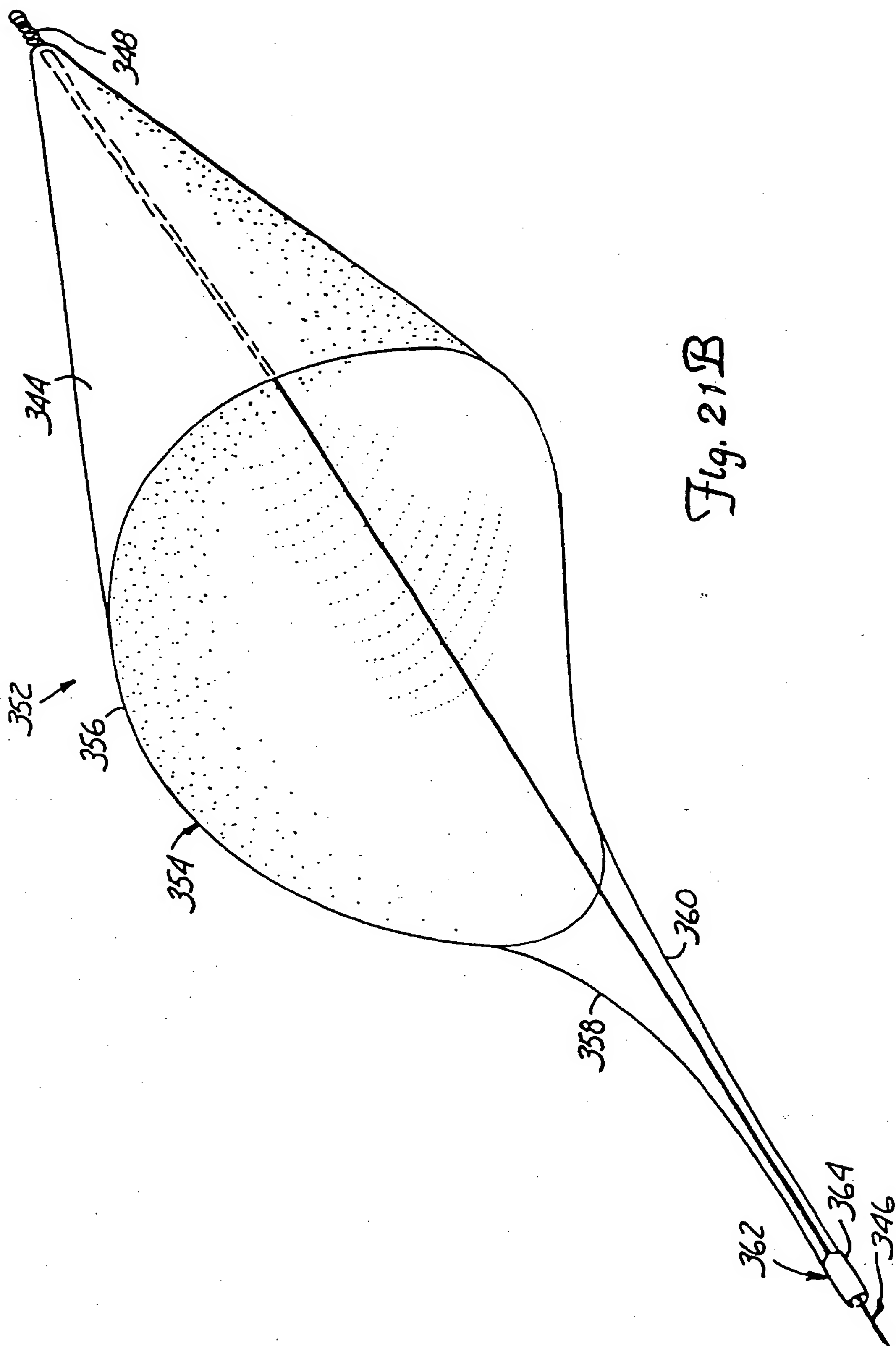
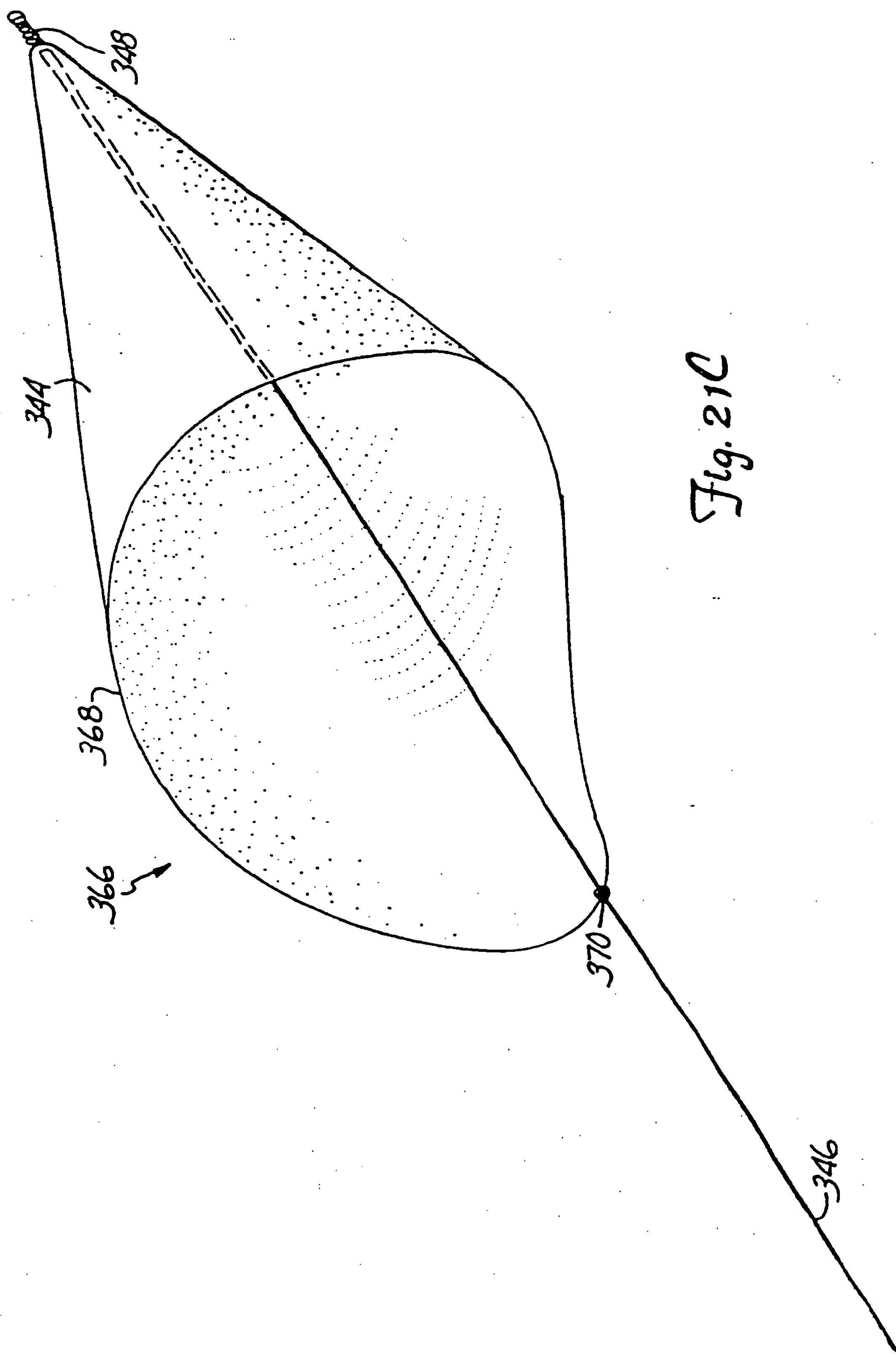


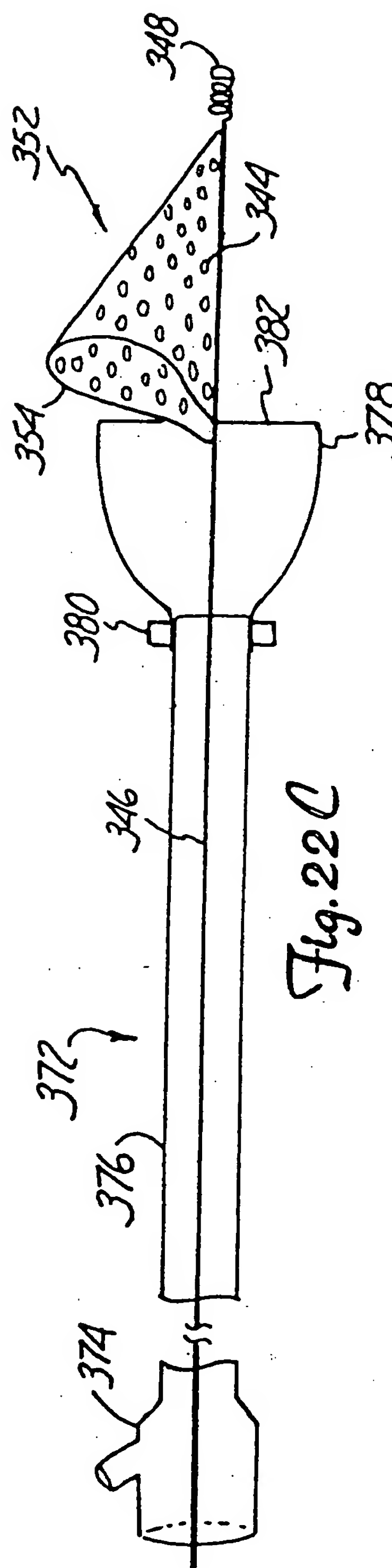
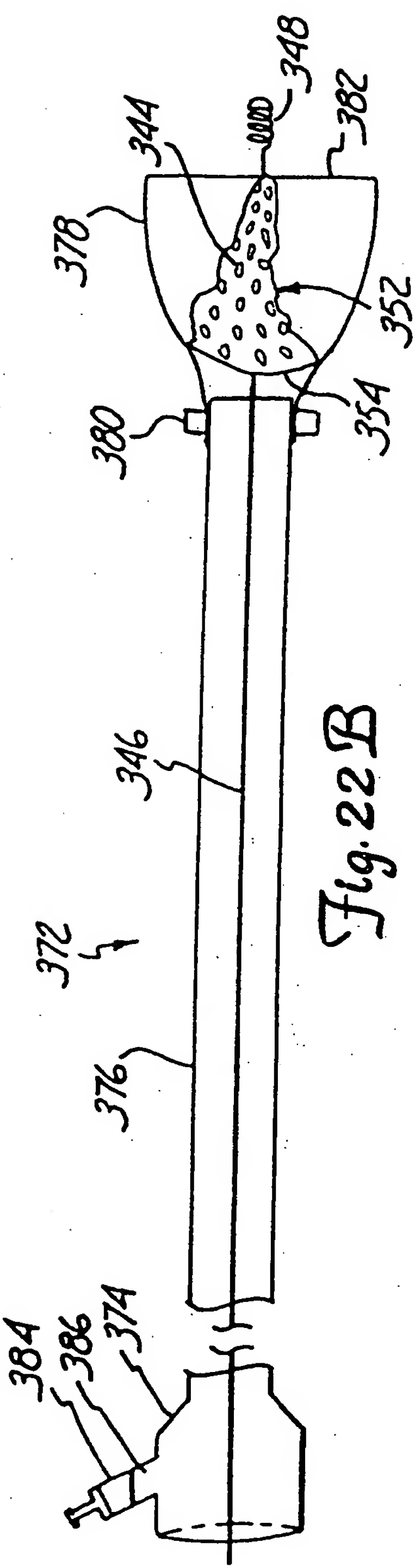
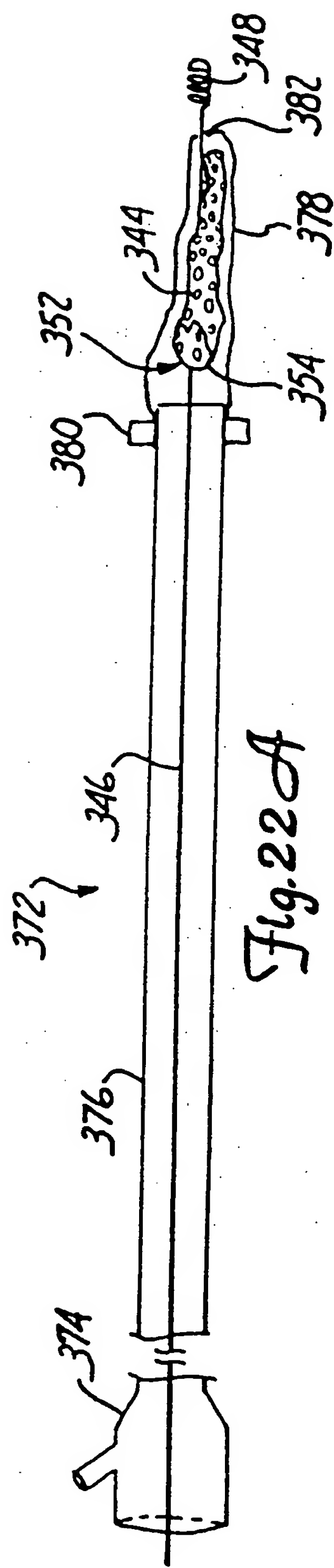
Fig. 18 D

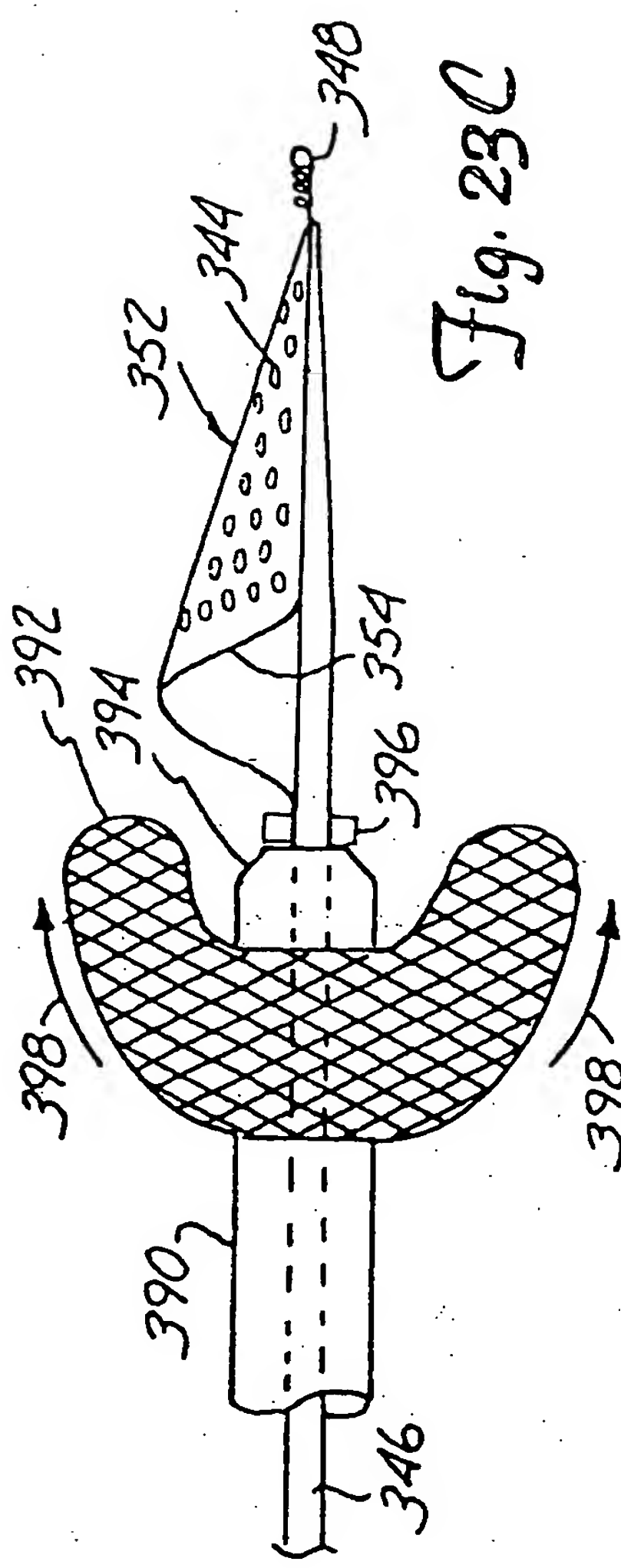
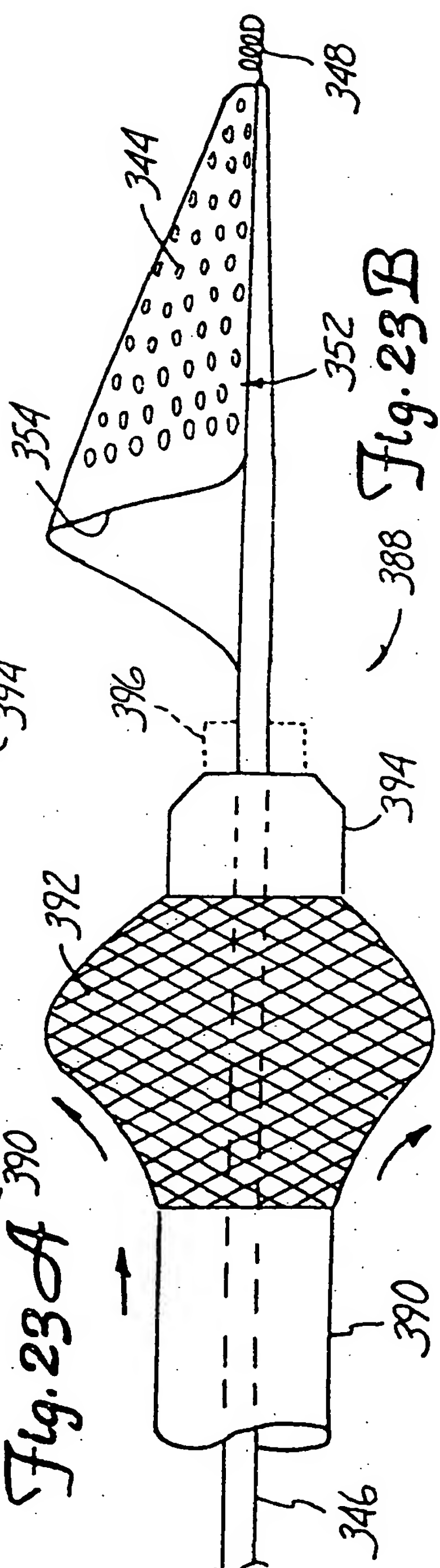
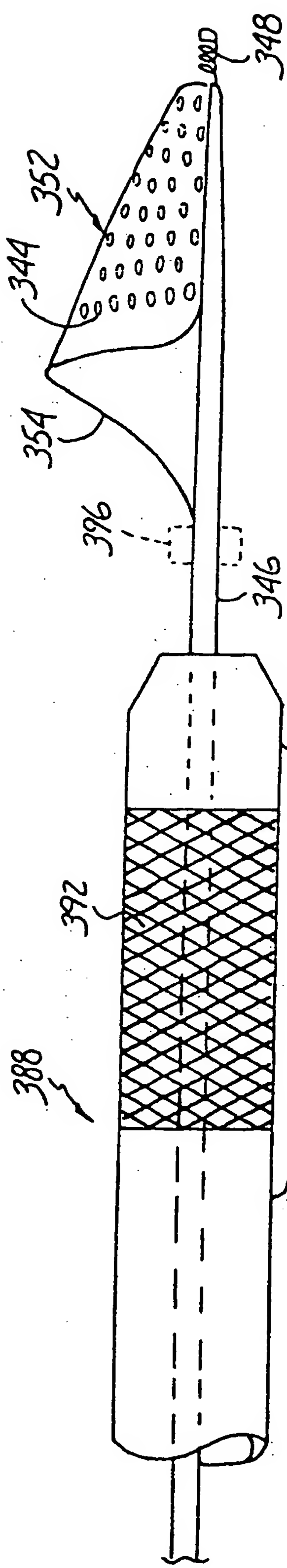












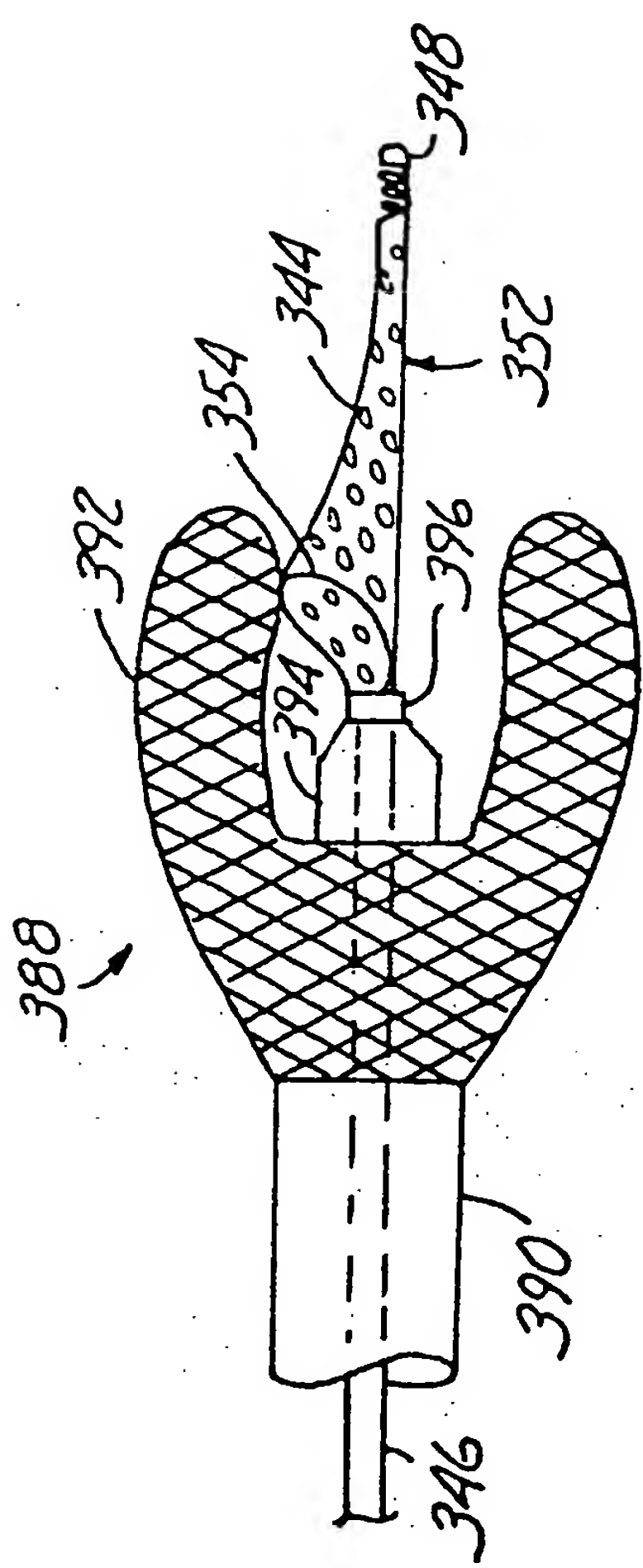


Fig. 23 D

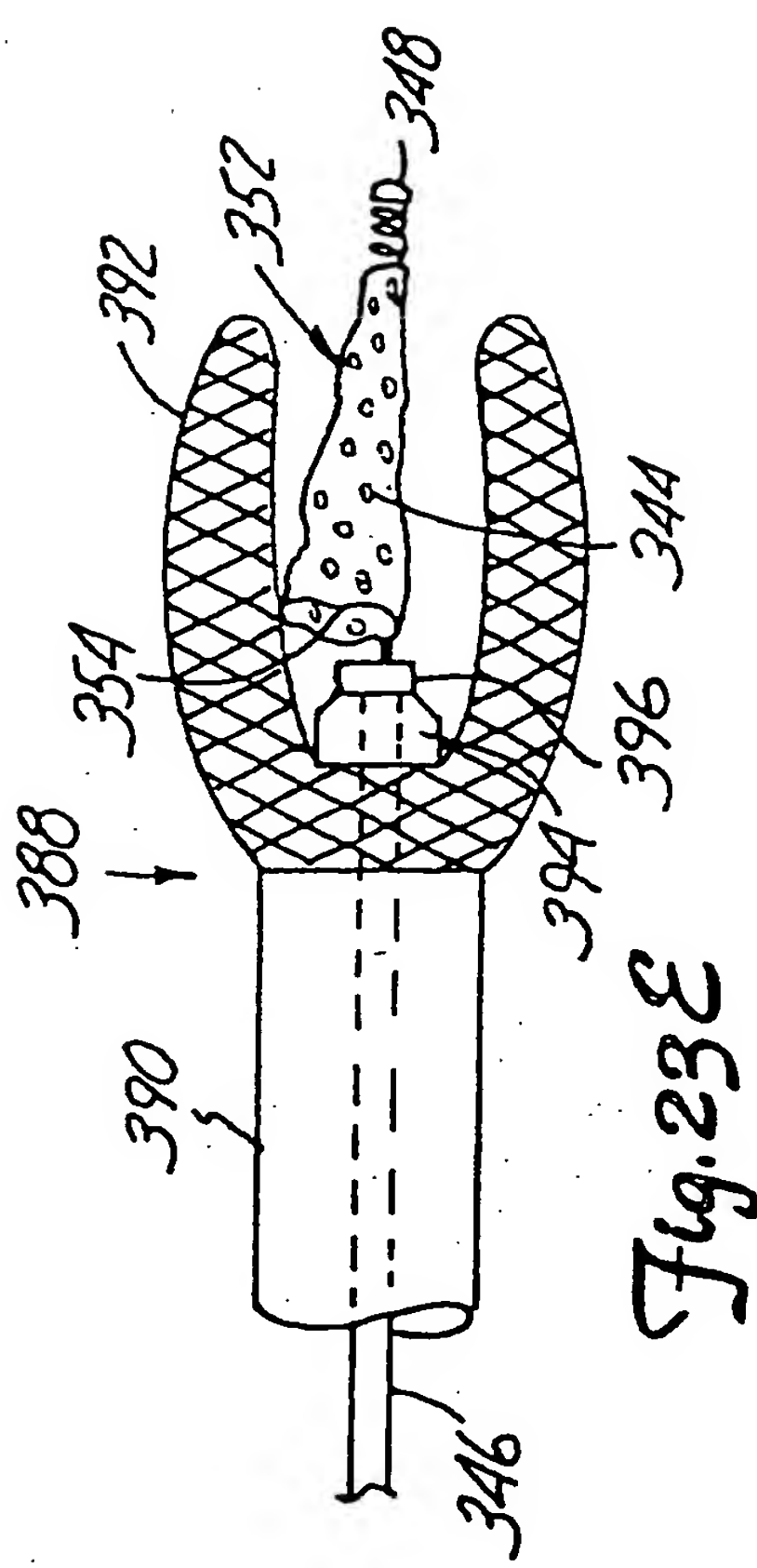
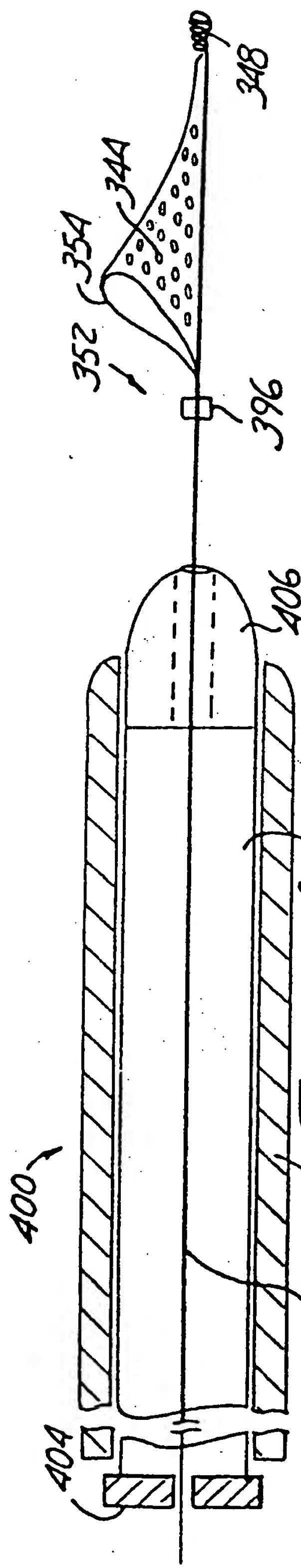
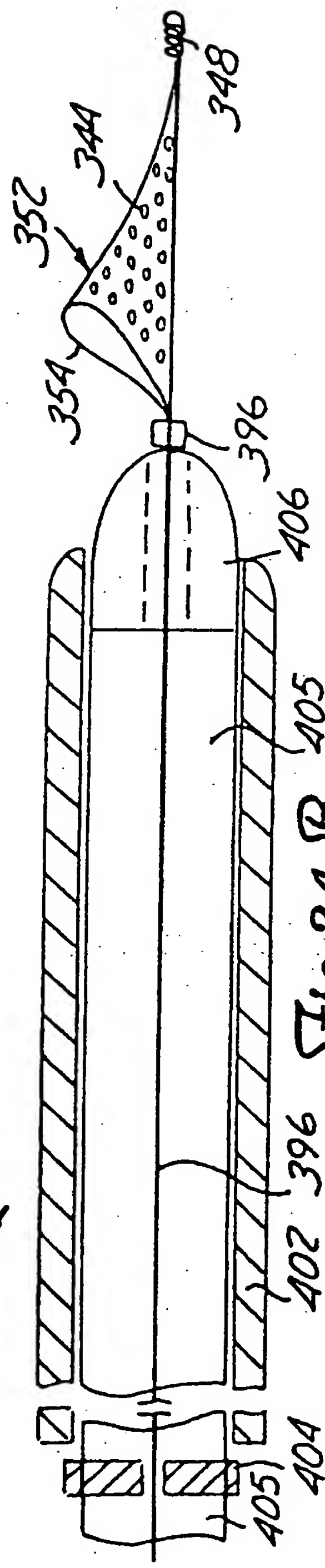


Fig. 23 E



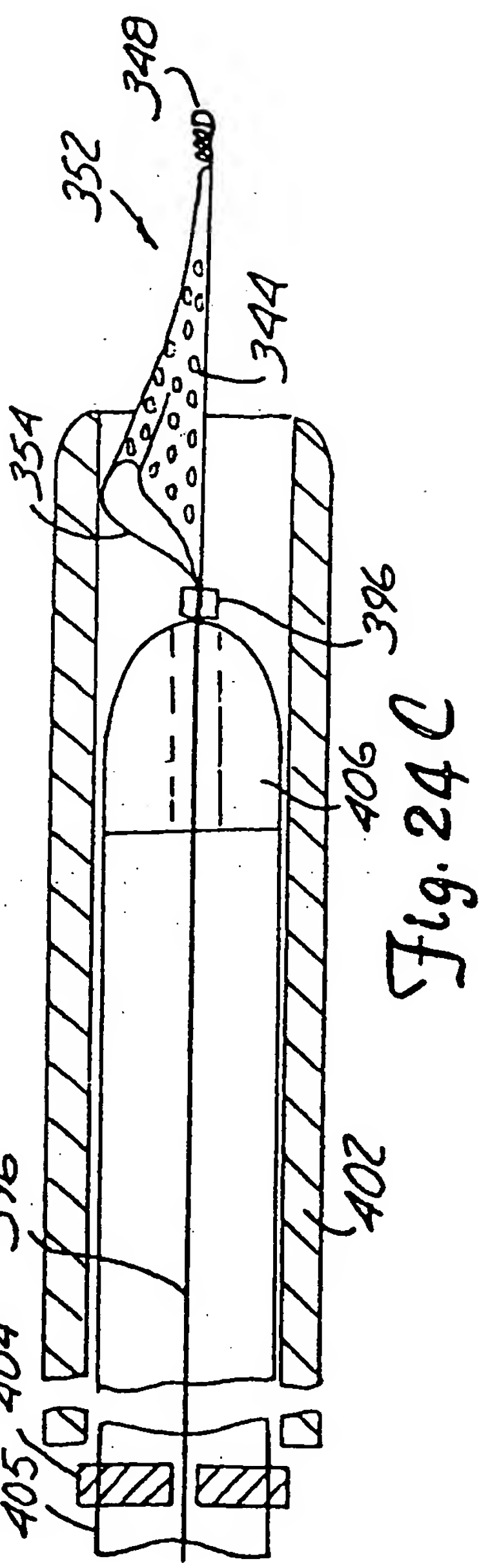
346 402 Fig. 24 A 405

400 →



402 396 Fig. 24 B 405

404 396 →



402 Fig. 24 C